

Boletín mensual Vigilancia Volcánica de Tenerife

NOVIEMBRE 2021

El Instituto Volcanológico de Canarias (INVOLCAN) es una entidad demandada unánimemente por el Senado (2005), Parlamento de Canarias (2006), Asamblea General de la Federación Canaria de Municipios, FECAM (2008), Congreso de los Diputados (2009) y la Asamblea General de la Federación Canaria de Islas, FECAI (2014), que instan a la Administración General del Estado y de la Comunidad Autónoma de Canarias, así como a los Cabildos Insulares, a la apuesta conjunta de todos los recursos humanos y técnicos que las diferentes administraciones públicas españolas destinan a la gestión científica del riesgo volcánico en España, con la finalidad de garantizar una coordinación efectiva y eficiente para contribuir al fortalecimiento de las acciones destinadas a la reducción del riesgo volcánico en España; dígame Canarias, la única región volcánicamente activa del territorio nacional con riesgo volcánico. Desde finales de 2010 el INVOLCAN es una realidad gracias a la implicación del Cabildo Insular de Tenerife, estando a la espera de la participación del resto de las administraciones públicas.

Introducción

En este boletín se presentan los datos registrados por las redes instrumentales permanentes y las campañas científicas periódicas de observación para la monitorización de la actividad volcánica en Tenerife correspondientes al mes de noviembre de 2021. Los boletines mensuales de INVOLCAN son publicados a principios de cada mes reflejando la actividad del mes anterior. El copyright de los datos y de las elaboraciones mostradas en el presente boletín es propiedad intelectual de INVOLCAN. Sólo está permitida exclusivamente la difusión del presente boletín en su totalidad. La autorización a la publicación parcial, también en forma elaborada, debe ser solicitada previamente a INVOLCAN mediante correo electrónico (involcan@gmail.com). La fuente de los datos sísmicos anteriores al 21/11/2016, fecha en que ha entrado en plena operatividad la Red Sísmica Canaria gestionada por INVOLCAN, proceden de la página web del Instituto Geográfico Nacional, IGN. Los datos mostrados en el presente boletín podrían estar sujetos a futuras revisiones. Se declina cualquier responsabilidad derivada de un uso inadecuado de la información aquí presentada.





Resumen

- En el mes de noviembre de 2021, la Red Sísmica Canaria ha registrado **134** terremotos de baja magnitud ($M_{max} = 3.1$) en la isla de Tenerife y sus alrededores.
- Los valores de temperatura de la estación termométrica TFT12 no han registrado tendencias significativas.
- La Red GPS Canaria (ITER-GRAFCAN-Universidad de Nagoya) que opera el INVOLCAN no ha registrado desplazamientos horizontales y verticales significativos.
- En el mes de noviembre de 2021, no fue posible acceder al cráter del Teide debido a causas meteorológicas y problemas logísticos. En junio de 2021 se alcanzaron valores de 346 toneladas diarias, el mayor valor registrado en toda la serie. El resto de los parámetros geoquímicos que se presentan en este informe no muestran variaciones significativas durante el mes de noviembre de 2021.

Valoración

El incremento observado en la emisión difusa de dióxido de carbono (CO_2), emanaciones no visibles al ojo humano, en el cráter del Teide desde el pasado mes de noviembre de 2016 refleja un proceso de presurización del sistema volcánico-hidrotermal. Esto está probablemente vinculado a la inyección de gases de origen magmático en el sistema. La ausencia de deformaciones significativas del terreno hace poco probable la implicación directa de un sistema magmático superficial.

A corto plazo, no se puede excluir que continúe este episodio de presurización del sistema volcánico-hidrotermal. Además, podrían producirse más terremotos de pequeña magnitud y de entidad parecida al ocurrido el 6 de enero 2017. Por otra parte, puede excluirse la ocurrencia de terremotos capaces de generar daños a corto plazo. El registro de un incremento en la emisión difusa de dióxido de carbono (CO_2) en el cráter del Teide ha sido y es de interés científico para el fortalecimiento del sistema de alerta temprana, pero no ha representado ni representa peligro alguno para las personas que acceden diariamente al Pico del Teide.

Recordar que en la actualidad el semáforo volcánico para Tenerife se encuentra en posición **VERDE**. Por lo tanto, y según el Plan Especial de Protección Civil y Atención de Emergencias por Riesgo Volcánico en la Comunidad Autónoma de Canarias (PEVOLCA), **los residentes y visitantes en la isla pueden desarrollar sus actividades con absoluta normalidad.**





1 - Sismología

Durante el mes de noviembre de 2021, la Red Sísmica Canaria en Tenerife (Fig. 1.1) ha estado en funcionamiento con 18 estaciones operativas. Todos los hipocentros han sido relocalizados manualmente. La incertidumbre en las localizaciones hipocentrales es de unos pocos kilómetros, mientras que en las magnitudes es en alrededor de 0.2 unidades.

Los hipocentros de los **134** terremotos registrados por la Red Sísmica Canaria durante el mes de noviembre de 2021 han sido localizados en su práctica totalidad por debajo de la isla de Tenerife y en el área entre Tenerife y Gran Canaria (Fig. 1.1). La magnitud máxima observada ha sido de **3.1**, debida un terremoto registrado en el día 18/11/2021 a las 02:16 GTM y localizado entre las islas de Tenerife y Gran Canaria (Fig. 1.1).

En el mes de noviembre de 2021, el número de terremotos (Fig. 1.2) aumentó ligeramente, mientras que las profundidades (Fig. 1.3), las magnitudes (Fig. 1.4) y la energía sísmica liberada (Fig. 1.5, 1.6) no muestran variaciones significativas a corto plazo. Durante el mes de noviembre de 2021 el parámetro *b* de la ley de Gutenberg-Richter se mantuvo en torno a los de mes de octubre, con valores alrededor de 2.3-2.4 (Fig. 1.7).

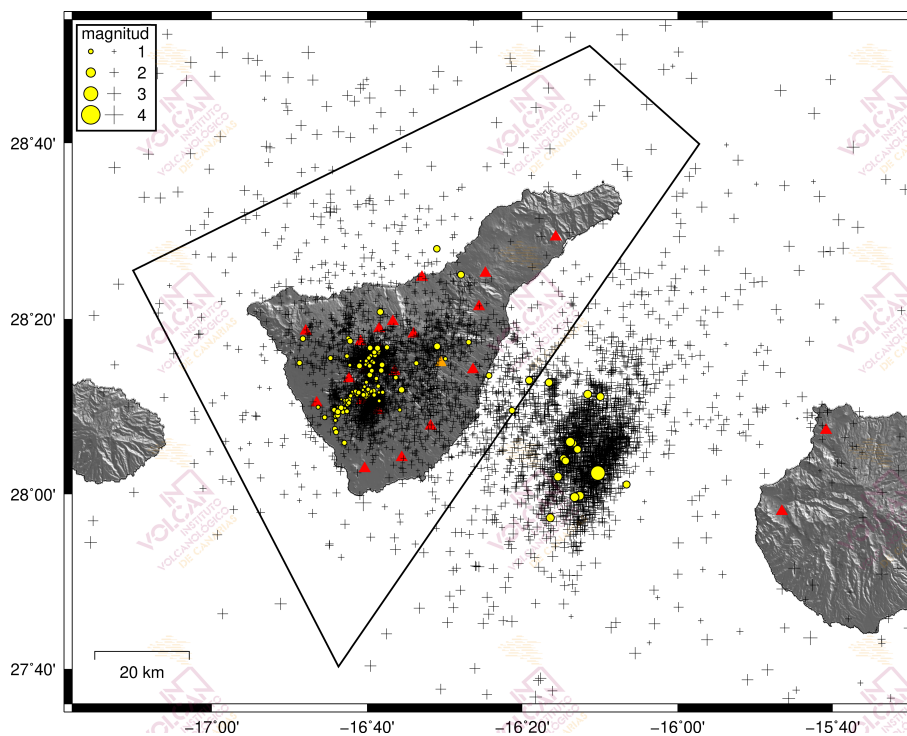


Figura 1.1 - Hipocentros de los terremotos (círculos amarillos) localizados por las estaciones de la Red Sísmica Canaria (triángulos rojos) en noviembre de 2021. Las cruces muestran los hipocentros localizados en los últimos 12 meses. El polígono negro corresponde al área de Tenerife considerada en las estadísticas sísmológicas de los gráficos siguientes.



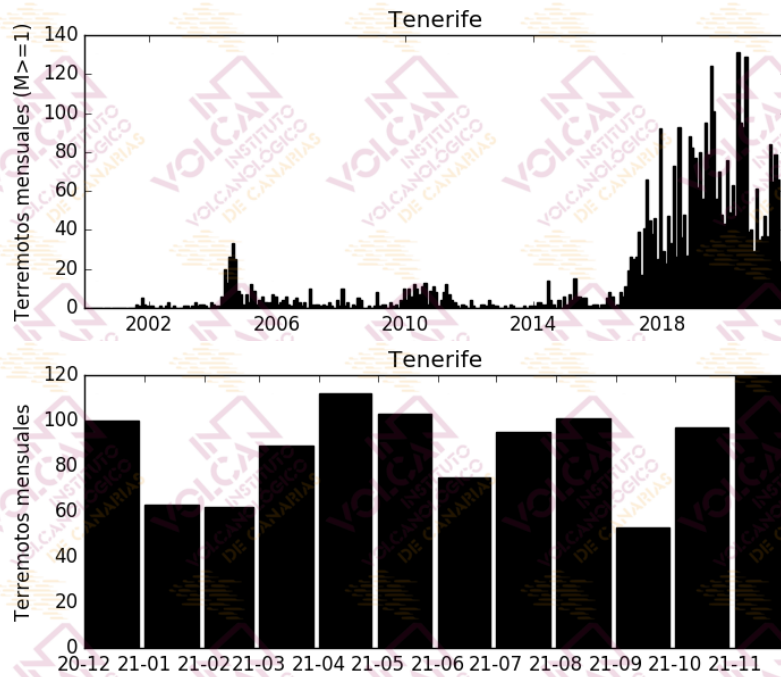


Figura 1.2 - Número de terremotos mensuales en Tenerife. El histograma superior corresponde al periodo enero 2000 – noviembre 2021 para terremotos con $M \geq 1$, mientras que el inferior muestra el periodo diciembre 2020 – noviembre 2021 para todas las magnitudes. [La fuente de los datos sísmicos anteriores al 21/11/2016 es el Instituto Geográfico Nacional, IGN].

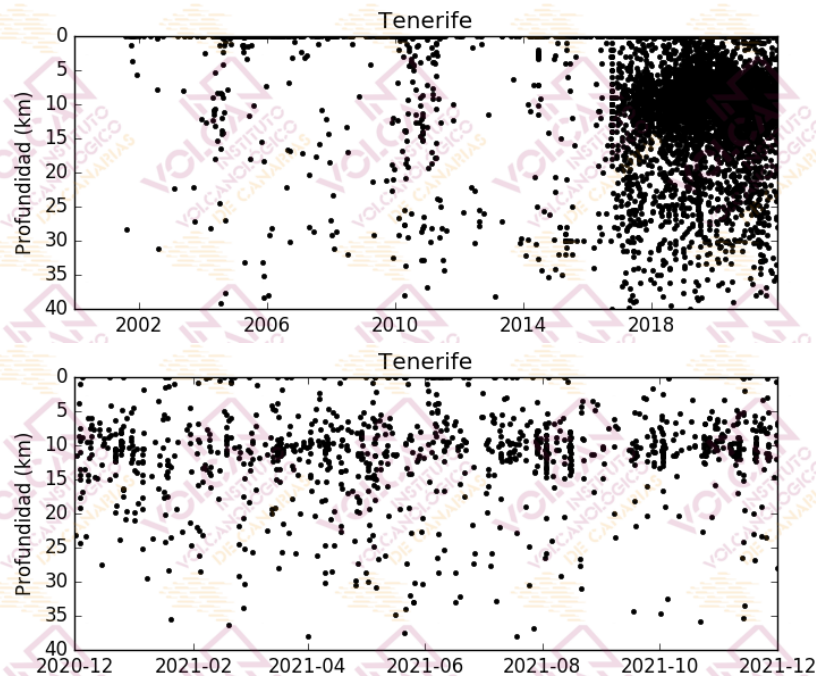


Figura 1.3 - Profundidades de los hipocentros localizados en el área de Tenerife. El gráfico superior corresponde al periodo enero 2000 - noviembre 2021, mientras que el inferior muestra el periodo diciembre 2020 – noviembre 2021. [La fuente de los datos sísmicos anteriores al 21/11/2016 es el Instituto Geográfico Nacional, IGN].



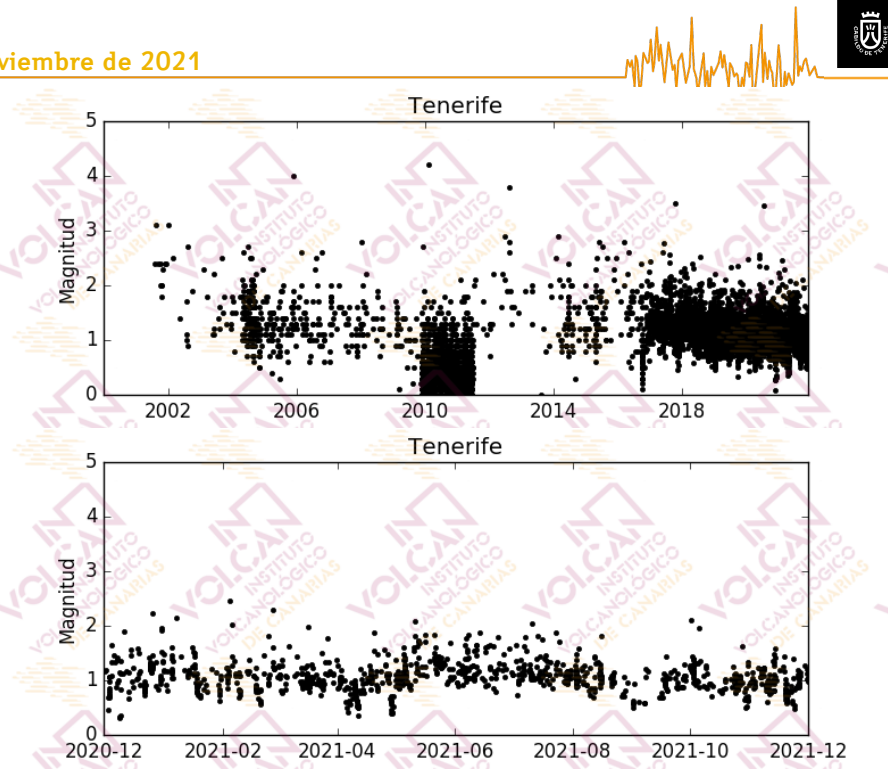


Figura 1.4 - Magnitudes de los terremotos localizados en el área de Tenerife. El gráfico superior corresponde al periodo enero 2000 – noviembre 2021, mientras que el inferior muestra el periodo diciembre 2020 – noviembre 2021. [La fuente de los datos sísmicos anteriores al 21/11/2016 es el Instituto Geográfico Nacional, IGN].

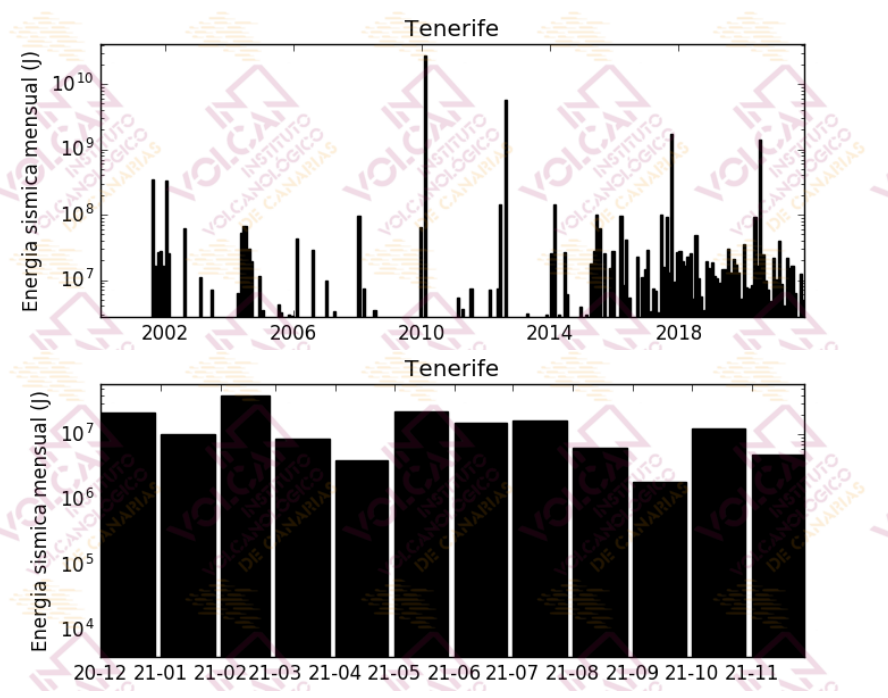


Figura 1.5 – Energía sísmica liberada por los terremotos localizados en el área de Tenerife. El histograma superior corresponde al periodo enero 2000 – noviembre 2021, mientras que el inferior muestra el periodo diciembre 2020 – noviembre 2021. [La fuente de los datos sísmicos anteriores al 21/11/2016 es el Instituto Geográfico Nacional].



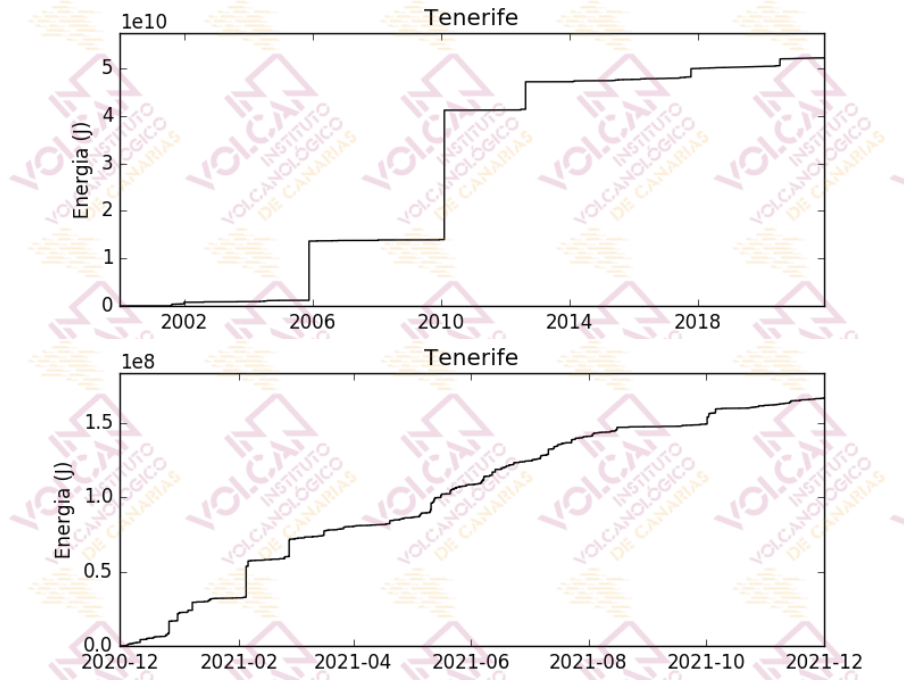


Figura 1.6 - Curva de energía sísmica acumulada por los terremotos localizados en el área de Tenerife. El gráfico superior corresponde al periodo enero 2000 – noviembre 2021, mientras que el inferior muestra el periodo diciembre 2020 – noviembre 2021. [La fuente de los datos sísmicos anteriores al 21/11/2016 es el Instituto Geográfico Nacional, IGN].

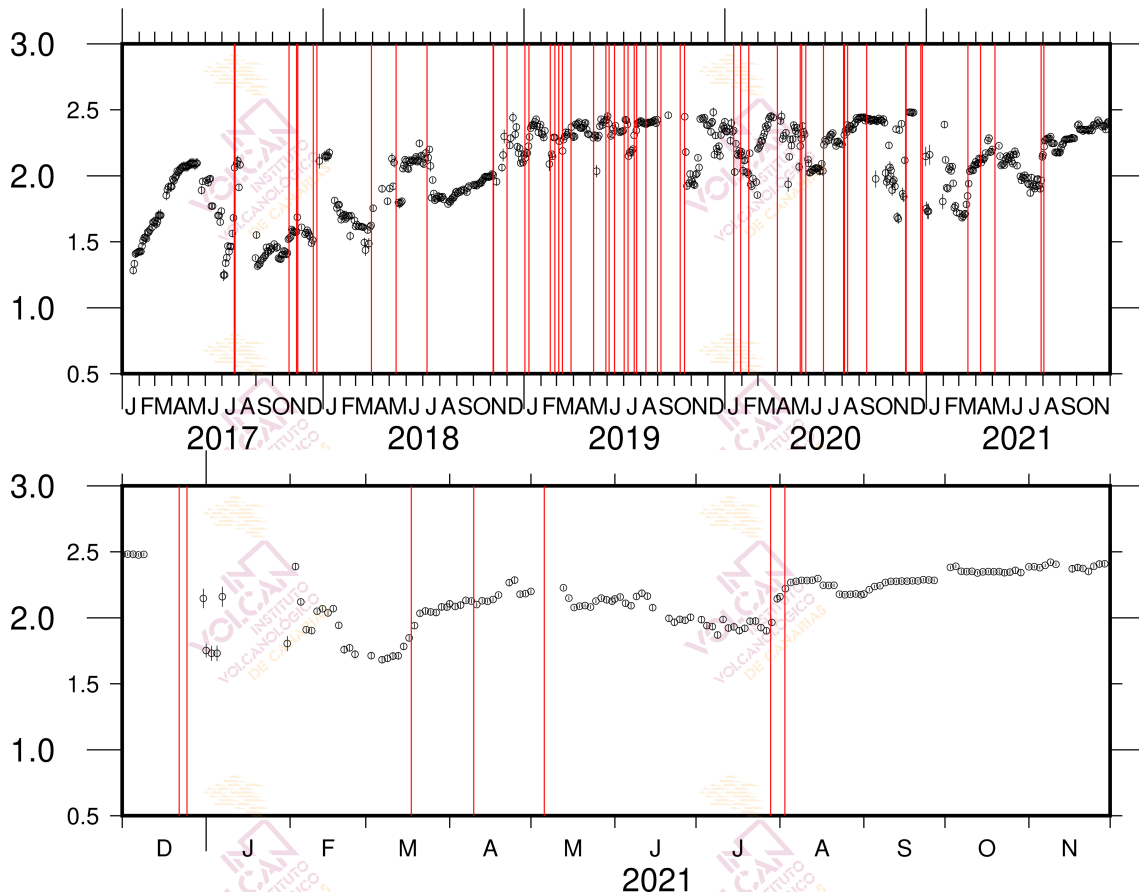


Figura 1.7 - Variaciones del parámetro b de la relación de Gutenberg-Richter. En el gráfico superior durante el periodo enero 2017 – noviembre 2021. En el gráfico inferior durante el periodo diciembre 2020 – noviembre 2021. Las líneas rojas indican la ocurrencia de enjambres sísmicos.





Tabla 1.1 - Hipocentros localizados por la Red Sísmica Canaria en noviembre de 2021 y mostrados en la Figura 1.1

<i>Fecha</i>	<i>Magnitud</i>	<i>Latitud (N)</i>	<i>Longitud (W)</i>	<i>Prof. (km)</i>
01-11-2021 00:49	1.0	28.2626	-16.7098	9.3
01-11-2021 20:09	1.0	28.1564	-16.7185	8.7
02-11-2021 06:48	1.2	28.2497	-16.8117	8.3
02-11-2021 07:50	1.0	28.2589	-16.7453	9.3
02-11-2021 21:49	0.9	28.2633	-16.6589	10.4
03-11-2021 03:11	0.9	28.2575	-16.4985	6.5
03-11-2021 03:22	0.9	28.1751	-16.7130	3.4
03-11-2021 04:10	1.0	28.2965	-16.7070	8.7
03-11-2021 05:40	1.5	28.0969	-16.2236	8.9
04-11-2021 19:26	1.2	28.2911	-16.7030	7.8
06-11-2021 00:15	1.2	28.2270	-16.6608	9.9
06-11-2021 00:16	1.1	28.2484	-16.6669	10.2
06-11-2021 02:16	1.8	28.0333	-16.2568	0.0
06-11-2021 08:40	1.1	28.1968	-16.6630	10.4
06-11-2021 09:36	1.9	28.0995	-16.2305	7.0
06-11-2021 15:30	1.1	28.1962	-16.6531	10.9
06-11-2021 15:33	1.1	28.1942	-16.6654	11.2
06-11-2021 19:58	1.2	28.2783	-16.6601	9.9
06-11-2021 23:29	0.9	28.1899	-16.6636	10.6
07-11-2021 20:48	1.2	28.1504	-16.7324	7.0
08-11-2021 05:28	1.2	28.2441	-16.6830	11.1
08-11-2021 05:29	1.1	28.2518	-16.6544	11.4
08-11-2021 06:29	1.2	28.1793	-16.7058	9.7
09-11-2021 00:01	0.9	28.1887	-16.6516	11.2
09-11-2021 03:42	0.9	28.1910	-16.6778	12.8
09-11-2021 10:22	0.9	28.1963	-16.6792	11.1
09-11-2021 11:05	0.8	28.1941	-16.6813	11.7
09-11-2021 19:22	0.9	28.1938	-16.6332	9.7
09-11-2021 19:22	0.9	28.1959	-16.6816	12.0
09-11-2021 22:50	0.8	28.1959	-16.6617	11.4
09-11-2021 23:43	1.0	28.1487	-16.7341	6.8
10-11-2021 00:25	0.6	28.1908	-16.6775	11.6
10-11-2021 01:35	0.9	28.1655	-16.7718	4.9
10-11-2021 05:18	0.9	28.2591	-16.6629	11.1
10-11-2021 07:00	0.8	28.2455	-16.7038	17.1
10-11-2021 07:36	1.0	28.2680	-16.6472	5.8
10-11-2021 11:38	0.9	28.1879	-16.6651	6.7





10-11-2021 12:31	0.9	28.1962	-16.6585	8.8
10-11-2021 16:56	1.1	28.2793	-16.6239	14.1
10-11-2021 19:13	0.8	28.2687	-16.6415	5.4
10-11-2021 20:39	0.8	28.1785	-16.7146	9.0
10-11-2021 20:50	0.8	28.1921	-16.6940	10.8
10-11-2021 21:16	1.0	28.2641	-16.6499	10.2
10-11-2021 21:51	0.8	28.1922	-16.6893	11.3
11-11-2021 00:22	1.0	28.2524	-16.6552	8.8
11-11-2021 01:11	0.9	28.1904	-16.6763	9.9
11-11-2021 01:45	0.8	28.1954	-16.6819	10.6
11-11-2021 02:56	1.6	28.1856	-16.1657	6.6
11-11-2021 04:22	1.6	28.0679	-16.2446	3.9
11-11-2021 05:03	1.6	28.0854	-16.2149	8.4
11-11-2021 12:35	0.8	28.1939	-16.6826	12.0
11-11-2021 20:31	0.8	28.1776	-16.6406	9.4
12-11-2021 02:17	1.8	27.9970	-16.2098	0.0
12-11-2021 19:30	1.4	28.1986	-16.5925	0.0
12-11-2021 21:40	1.0	28.2441	-16.6612	26.5
13-11-2021 01:24	1.0	28.2350	-16.6565	15.1
13-11-2021 03:53	0.9	28.2056	-16.6425	10.5
13-11-2021 05:38	1.5	28.4171	-16.4649	0.0
13-11-2021 05:52	1.3	28.1594	-16.3554	35.4
13-11-2021 06:28	1.1	28.0978	-16.7154	5.2
13-11-2021 08:46	1.0	28.1244	-16.7359	5.5
13-11-2021 08:52	0.8	28.2169	-16.6472	24.1
13-11-2021 09:11	1.3	28.2257	-16.4049	0.2
13-11-2021 13:37	0.8	28.2535	-16.6686	14.3
13-11-2021 15:48	1.1	28.2491	-16.5609	19.5
13-11-2021 18:11	1.4	28.4663	-16.5169	2.0
13-11-2021 23:08	1.6	28.2166	-16.3185	33.5
14-11-2021 17:32	1.0	28.1567	-16.7327	6.4
14-11-2021 22:05	1.7	27.9551	-16.2732	0.0
16-11-2021 01:23	1.2	28.2958	-16.8045	0.0
18-11-2021 02:16	3.1	28.0402	-16.1709	0.0
18-11-2021 04:42	1.2	28.1586	-16.7283	7.7
18-11-2021 12:37	1.4	28.2811	-16.5162	20.0
18-11-2021 14:34	1.2	28.2890	-16.4485	23.0
18-11-2021 14:50	1.9	27.9944	-16.2209	10.0
18-11-2021 23:07	0.8	28.2722	-16.6411	12.0





18-11-2021 23:28	1.0	28.1560	-16.7326	6.5
19-11-2021 00:18	0.8	28.1888	-16.6881	10.8
19-11-2021 02:45	0.6	28.1886	-16.6729	11.9
19-11-2021 06:04	0.7	28.1920	-16.6912	11.2
19-11-2021 07:45	0.9	28.2201	-16.6466	26.8
19-11-2021 09:48	0.8	28.1603	-16.5964	5.6
19-11-2021 12:09	0.7	28.2045	-16.6722	11.1
19-11-2021 12:21	0.8	28.1972	-16.6661	10.5
19-11-2021 13:30	0.7	28.1983	-16.6755	10.8
19-11-2021 14:36	0.6	28.1947	-16.6817	9.5
19-11-2021 16:13	0.8	28.1910	-16.6784	11.7
19-11-2021 16:39	0.9	28.1706	-16.7087	8.9
19-11-2021 16:48	0.7	28.1639	-16.7145	8.9
19-11-2021 17:03	0.6	28.1919	-16.6817	12.3
19-11-2021 18:20	0.7	28.1907	-16.6983	9.7
19-11-2021 18:50	0.6	28.1946	-16.6706	10.9
19-11-2021 21:56	1.6	28.2124	-16.2759	11.2
19-11-2021 23:40	0.6	28.1901	-16.7025	10.0
19-11-2021 23:41	0.7	28.1586	-16.7287	7.8
19-11-2021 23:52	0.7	28.1937	-16.6413	9.8
20-11-2021 00:55	1.6	28.0634	-16.2401	10.0
20-11-2021 03:34	0.7	28.2466	-16.6698	11.0
21-11-2021 08:35	0.8	28.1578	-16.7289	7.2
22-11-2021 01:58	0.8	28.1404	-16.7346	6.9
22-11-2021 10:34	0.9	28.1783	-16.7094	7.8
22-11-2021 20:13	0.6	28.2534	-16.6806	23.4
22-11-2021 21:41	0.6	28.1948	-16.6984	19.1
23-11-2021 06:35	1.4	28.3466	-16.6383	3.3
23-11-2021 07:19	1.5	28.0184	-16.1095	0.0
23-11-2021 12:59	1.0	28.1581	-16.7303	6.0
24-11-2021 00:54	0.8	28.2504	-16.6523	13.4
24-11-2021 01:37	0.5	28.1803	-16.7222	7.4
24-11-2021 02:31	0.5	28.1661	-16.7304	7.8
24-11-2021 20:41	0.9	28.1600	-16.7259	8.2
25-11-2021 02:26	0.9	28.2129	-16.6682	23.5
25-11-2021 03:40	0.9	28.1960	-16.6916	11.1
25-11-2021 11:09	1.7	28.1902	-16.1927	0.0
25-11-2021 16:52	1.2	28.1644	-16.7223	2.9
25-11-2021 20:35	1.1	28.1604	-16.7372	8.1





25-11-2021 21:08	1.1	28.1181	-16.7332	0.2
25-11-2021 23:25	0.9	28.1898	-16.6750	11.9
26-11-2021 00:14	1.0	28.1462	-16.7578	5.1
26-11-2021 05:51	0.9	28.1930	-16.6658	11.2
26-11-2021 06:18	0.9	28.1995	-16.6645	10.2
26-11-2021 10:22	1.0	28.1854	-16.6690	9.8
26-11-2021 10:45	1.0	28.1933	-16.6846	12.1
26-11-2021 13:24	0.9	28.1872	-16.7019	11.7
26-11-2021 14:51	1.1	28.1896	-16.6695	11.7
26-11-2021 23:56	1.1	28.1501	-16.7297	7.3
29-11-2021 03:06	1.3	28.2776	-16.6442	14.6
30-11-2021 09:35	1.0	28.1891	-16.6742	11.9
30-11-2021 12:19	1.1	28.2353	-16.6362	8.4
30-11-2021 13:12	1.2	28.1568	-16.7294	9.4
30-11-2021 15:16	N.D	28.2219	-16.6048	0.6
30-11-2021 18:07	1.0	28.1739	-16.7057	9.8
30-11-2021 18:26	1.2	28.2460	-16.6345	28.0
30-11-2021 19:49	1.0	28.1578	-16.7099	7.0
30-11-2021 22:07	1.0	28.2697	-16.6510	6.6





2 - Termometría y termografía

La monitorización termométrica para la vigilancia volcánica de Tenerife se realiza a través de (i) las estaciones que conforman la Red Termométrica Canaria existentes en la isla, (ii) la estación instrumental permanente del Consejo Insular de Aguas de Tenerife existente en el sondeo de Montaña Majúa, (iii) las campañas científicas periódicas de observación sobre el flujo de calor y la temperatura en la fumarola del cráter del Teide (TEF1). En este boletín se presentan los valores de temperatura de las fumarolas del Teide y la temperatura a 40 centímetros de profundidad medido por la estación termométrica TFG12 (Mirador de la Fortaleza del Teide). En la figura 2.1 se muestra la evolución temporal de los valores de temperatura registrados en la fumarola del Teide entre 1993 y noviembre de 2021. Las temperaturas registradas por la estación TFG12, presentan oscilaciones entre valores de 69.1 – 78.2 °C, con un valor promedio de 76.4 °C.

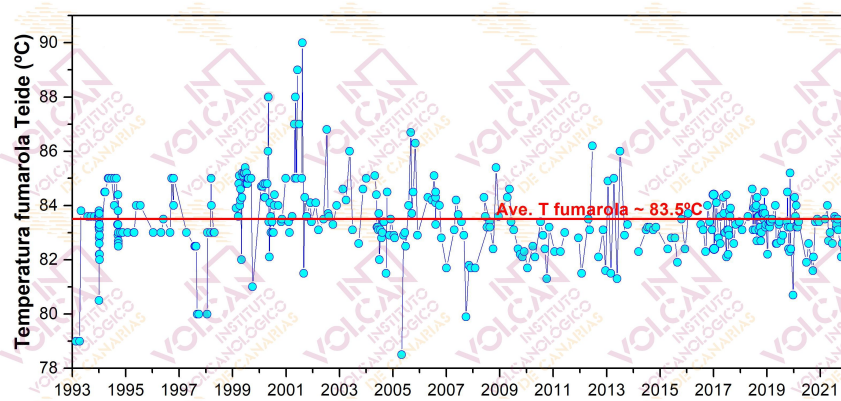


Figura 2.1 – Variaciones temporales de la temperatura registrada en las fumarolas del Teide (TEF1) desde 1993 hasta noviembre 2021.

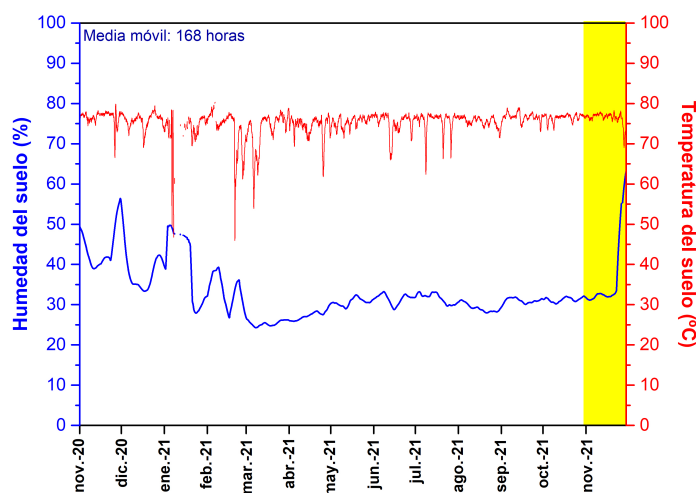


Figura 2.2 – Variaciones temporales de la media móvil semanal relacionada con el registro en modo continuo de la humedad (azul) y la temperatura (rojo) a 40 centímetros de profundidad en la estación termométrica TFT12 (Mirador de la Fortaleza del Teide, Tenerife). Los datos de noviembre de 2021 se encuentran indicados por el área amarilla.





3 - Geodesia

Durante el mes de noviembre de 2021, la monitorización geodésica para la vigilancia volcánica de Tenerife se ha realizado a través de la Red GPS Canaria que cuenta con 12 estaciones GPS diferenciales permanentes, de las cuales 2 son de la Universidad de Nagoya, 3 de GRAFCAN y 7 de ITER/INVOLCAN (Fig. 3.1). En este boletín se muestran los datos de la estación GPS del Teide (TEIT) (Fig. 3.2). Ninguna de las estaciones ha registrado desplazamientos significativos, dígase más altos que la incertidumbre experimental.

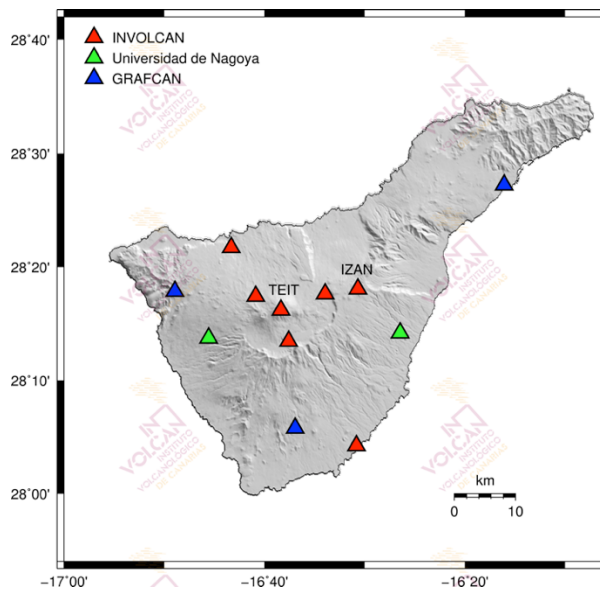


Figura 3.1 – Red GPS Canaria en la Isla de Tenerife compuesta por 12 estaciones GPS diferenciales permanentes (Universidad de Nagoya, GRAFCAN, ITER/INVOLCAN).

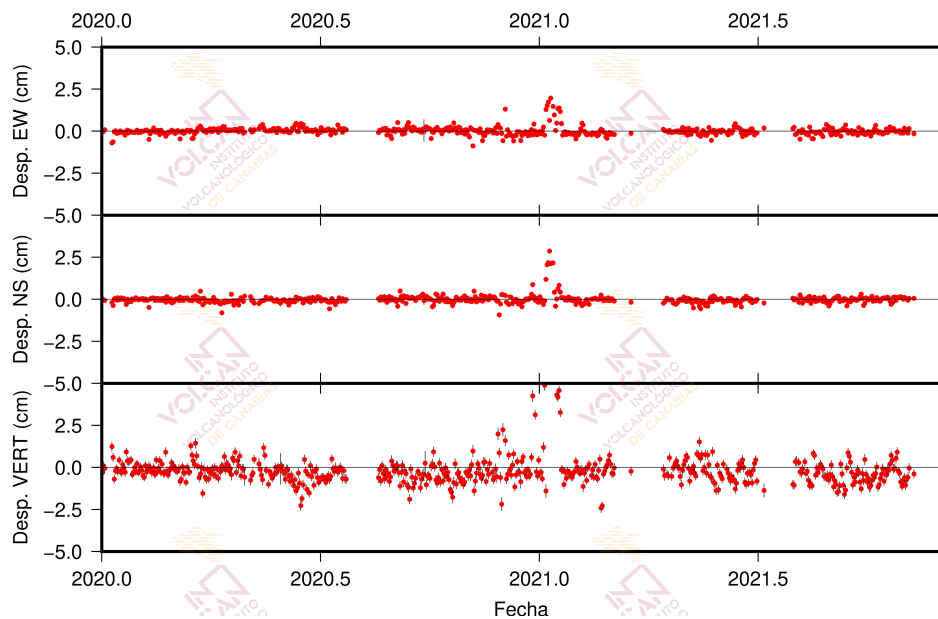


Figura 3.2 – Series temporales de los desplazamientos verticales y horizontales registrados por la estación GPS TEIT (Teide) desde el 2018. El valor medio y la incertidumbre para cada día se indican en rojo y negro, respectivamente.





4 - Geoquímica

La monitorización geoquímica para la vigilancia volcánica de Tenerife se realiza a través de (i) la Red Geoquímica Canaria que en la Isla de Tenerife cuenta con 7 estaciones instrumentales permanentes, (ii) la estación instrumental permanente del Consejo Insular de Aguas de Tenerife existente en el sondeo de Montaña Majúa, (iii) una red de observación y medida semanal del flujo difuso de dióxido de carbono (CO_2) compuesta por 31 trampas alcalinas, (iv) campañas científicas periódicas de observación sobre emisión difusa de dióxido de carbono (CO_2) en el cráter del Teide, y (v) el seguimiento y medida de la composición química e isotópica de la fumarola en el cráter del Teide (Fig. 4.1).

En este boletín se muestran datos relacionados con (a) el flujo difuso de dióxido de carbono (CO_2) de la estación geoquímica TFG12 (Mirador de la Fortaleza del Teide) (Fig. 4.2), (b) la emisión difusa de dióxido de carbono (CO_2) en el cráter del Teide (Fig. 4.3), (c) el flujo difuso de dióxido de carbono (CO_2) registrado en las estaciones de la Red de Trampas Alcalinas de los sistemas volcánicos Dorsal Noroeste de Tenerife (Fig. 4.4), Dorsal Noreste de Tenerife (Fig. 4.5), Dorsal Norte-Sur de Tenerife (Fig. 4.6) y caldera de Las Cañadas (Fig. 4.7), (d) algunas relaciones geoquímicas de la fumarola del Teide (Fig. 4.8) y (e) algunos parámetros físico-químicos de las aguas subterráneas que se monitorizan en la estación geoquímica TFG03 (Fig. 4.9).

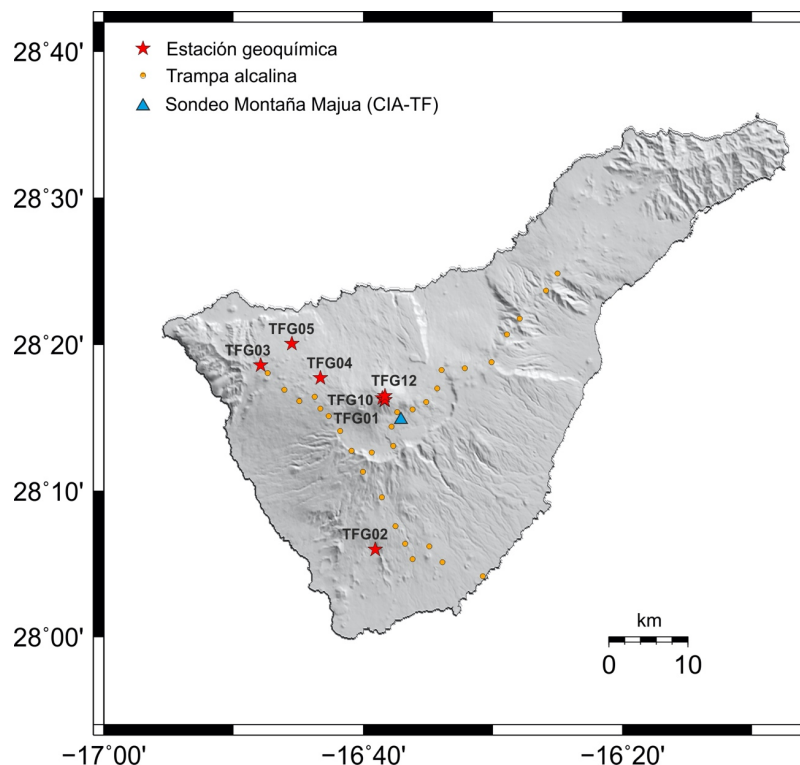


Figura 4.1 – Mapa de localización de las estaciones de la Red Geoquímica Canaria y de la Red de Trampas Alcalinas en la Isla de Tenerife, así como de la estación instrumental permanente del sondeo del Consejo Insular de Aguas de Tenerife en Montaña Majúa.

Desde noviembre de 2016 se evidencian registros relativamente altos en la tasa de emisión difusa de dióxido de carbono (CO_2) en el cráter del Teide (Fig. 4.3). En junio 2021 esta tasa de emisión alcanzó los 346 toneladas





diarias; el mayor valor registrado durante todo el periodo de observación desde que se comenzaron a realizar las campañas científicas periódicas de observación sobre este parámetro geoquímico en el cráter del Teide en 1997.

La serie de emisión de CO_2 registrada en la estación TFG12 durante este mes presenta una gran estabilidad alrededor de $\sim 8 \text{ kg m}^{-2} \text{ d}^{-1}$. Los valores de emisión oscilaron entre valores de 4.02 y los $18.53 \text{ kg m}^{-2} \text{ d}^{-1}$, con un valor promedio de $8.32 \text{ kg m}^{-2} \text{ d}^{-1}$ (Fig. 4.2).

La medida de flujo difuso de dióxido de carbono (CO_2) en la Red de trampas alcalinas durante el mes de noviembre no refleja tendencias significativas (Figs. 4.4, 4.5, 4.6 y 4.7). En la figura 4.8 se muestran los datos de las relaciones CO_2/CH_4 , H_2/CO_2 y He/CO_2 medidos en la fumarola del Teide. Los parámetros físico-químicos de las aguas subterráneas medidos por la estación TFG03 no muestran ninguna tendencia significativa (Fig. 4.9).

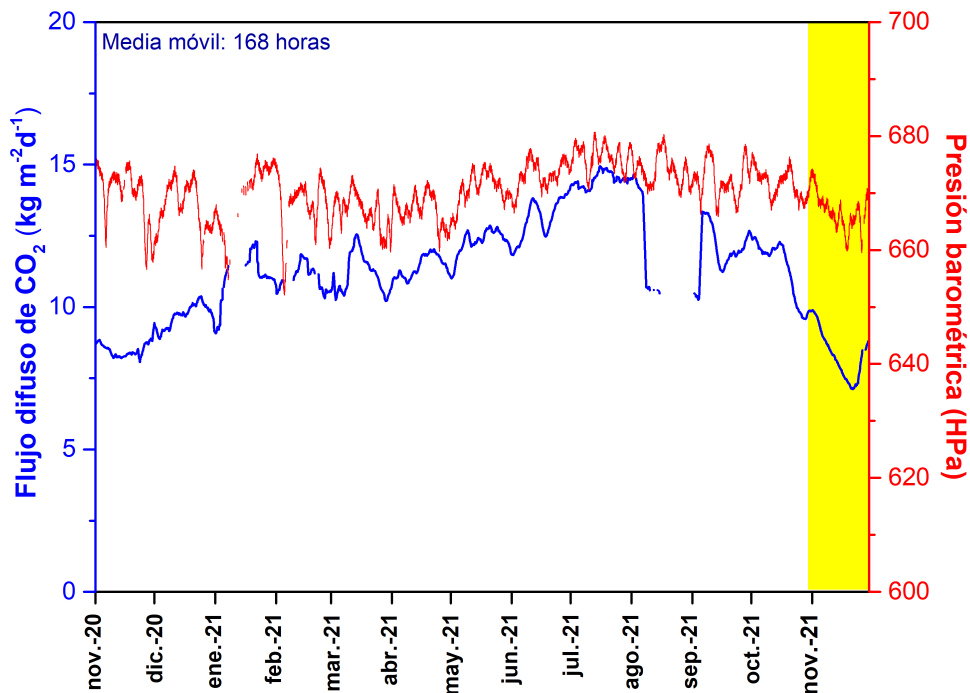


Figura 4.2 - Monitorización de la media móvil semanal del registro en modo continuo del flujo de CO_2 (azul) y la presión barométrica (rojo) de la estación geoquímica TFG12 (Mirador de la Fortaleza del Teide, Tenerife). Los datos de noviembre de 2021 se encuentran indicados por el área amarilla.



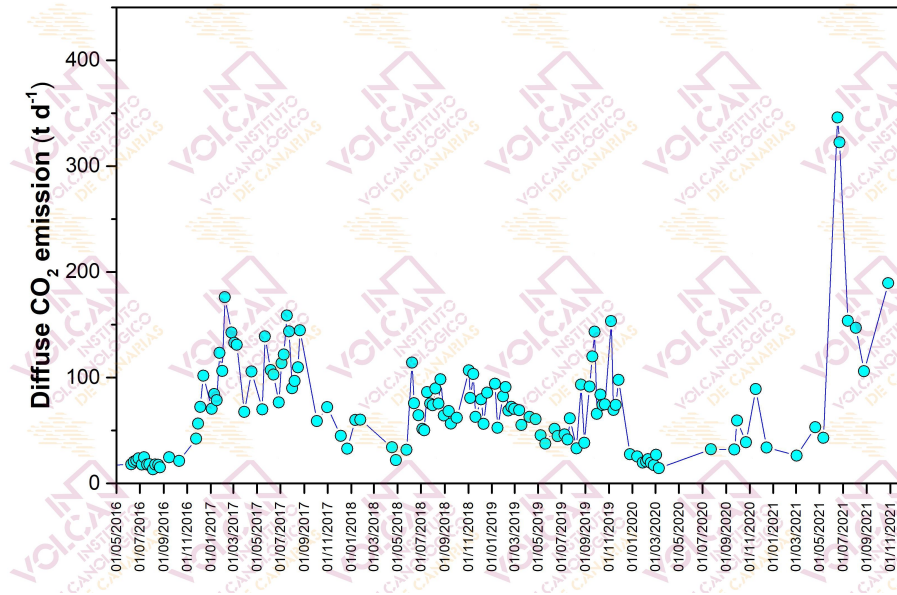


Figura 4.3 – Variaciones temporales de la emisión difusa de dióxido de carbono (CO_2) en el cráter del Teide desde el 1 de noviembre de 2016 hasta noviembre 2021. Los datos de noviembre de 2021 se encuentran indicados en azul oscuro.

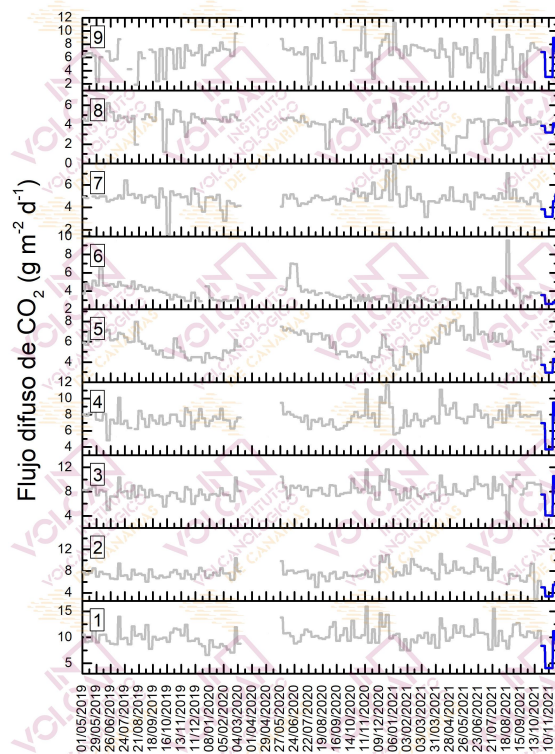


Figura 4.4 – Monitorización semanal del flujo difuso de CO_2 en la Red de Trampas Alcalinas del sistema volcánico Dorsal Noroeste de Tenerife desde diciembre de 2019. Los datos de noviembre de 2021 se encuentran indicados en azul oscuro.



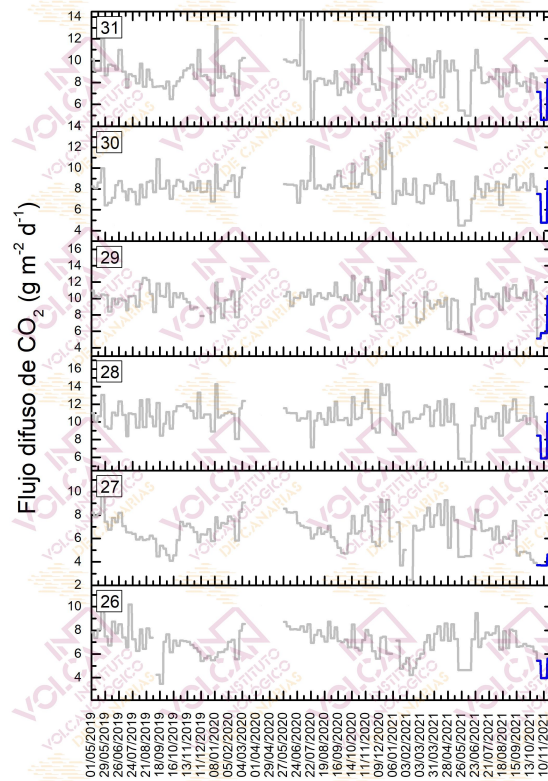


Figura 4.5 – Monitorización semanal del flujo difuso de CO₂ en la Red de Trampas Alcalinas del sistema volcánico Dorsal Noreste de Tenerife desde diciembre de 2019. Los datos de noviembre de 2021 se encuentran indicados en azul oscuro.

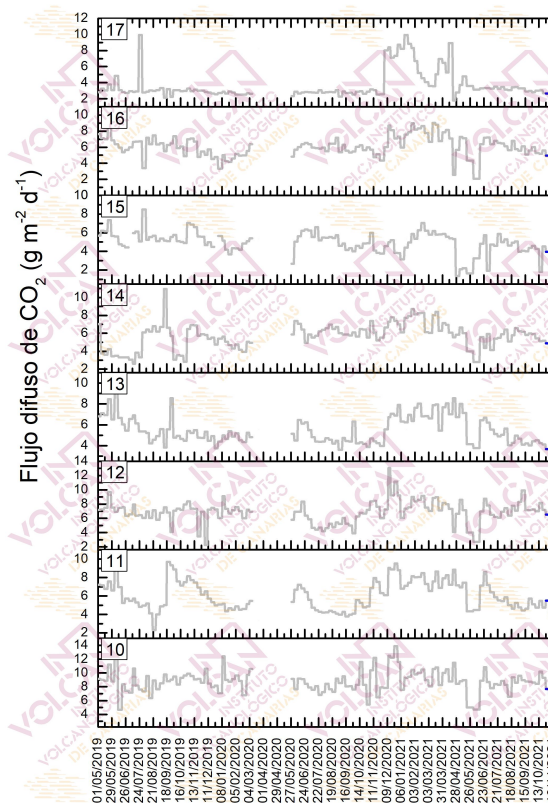


Figura 4.6 – Monitorización semanal del flujo difuso de CO₂ en la Red de Trampas Alcalinas del sistema volcánico Dorsal Norte-Sur de Tenerife desde diciembre de 2019. Los datos de noviembre de 2021 se encuentran indicados en azul oscuro.



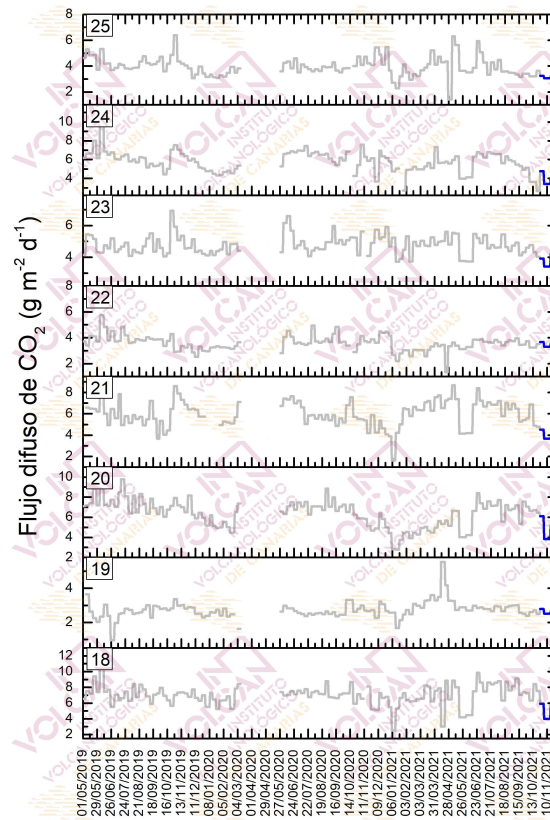


Figura 4.7 – Monitorización semanal del flujo difuso de CO₂ en la Red de Trampas Alcalinas de la Caldera de Las Cañadas desde diciembre de 2019. Los datos de noviembre de 2021 se encuentran indicados en azul oscuro.

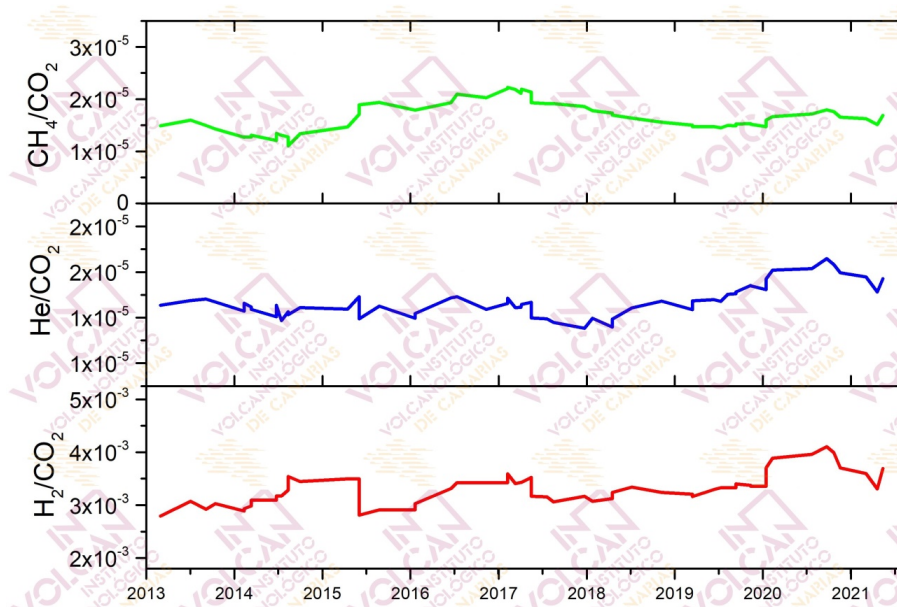


Figura 4.8 - Variaciones temporales de las relaciones molares CO₂/CH₄, He/CO₂ y H₂/CO₂ en las fumarolas del Teide (TEF1) desde 2013. Las curvas representan una media móvil sobre 5 valores de muestreo.



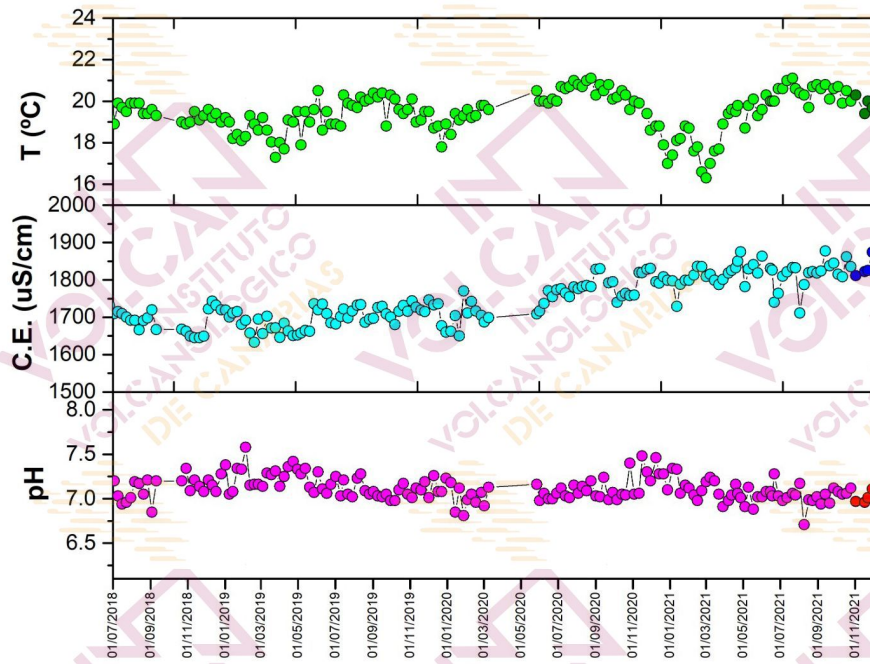
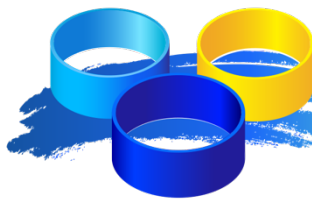


Figura 4.9 - Variaciones temporales de temperatura, conductividad ($\mu S\cdot cm^{-1}$) y pH medidas en el agua subterránea de la estación geoquímica TFG03. Los datos de noviembre de 2021 se encuentran indicados en diferentes colores.





Este boletín ha sido elaborado gracias al proyecto al proyecto “MONITORIZACIÓN E INVESTIGACIÓN SOBRE LA ACTIVIDAD VOLCÁNICA DE TENERIFE” co-financiado por el Programa Tenerife Innova 2016-2021 que coordina el Área Tenerife Innova 2016-2021 que coordina el Área de Carreteras, Movilidad e Innovación del Cabildo Insular de Tenerife y por el proyecto “Fortalecimiento de las capacidades de I+D+i para el desarrollo de la resiliencia frente a emergencias volcánicas en la Macaronesia – VOLRISKMAC II” del Programa de Cooperación Territorial INTERREG V A España-Portugal MAC 2014-2020.



MAC 2014-2020
Cooperación Territorial

